

سنتز نانوذرهای روی دیاکسید دوپهشده با نقره با دو روش سل-ژل و همروسبی و مقایسه ویژگی فیزیکی-شیمیایی و فعالیت‌های پادبacterی آن‌ها

میترا شعبانی‌نیا^۱, منوچهر خراسانی^{۲*} و سحر بنی‌یعقوب^۳

۱. دانشجوی دکترا شیمی معدنی، واحد علوم و تحقیقات، دانشگاه آزاد اسلامی، تهران، ایران.
۲. استادیار دانشکده مهندسی پلیمر و رنگ، دانشگاه صنعتی امیرکبیر، تهران، ایران.
۳. استادیار شیمی معدنی، واحد علوم و تحقیقات، دانشگاه آزاد اسلامی، تهران، ایران.

دربافت: بهمن ۱۴۰۲ بازنگری: اسفند ۱۴۰۲ پذیرش: شهریور ۱۴۰۳



<https://doi.org/10.30495/JACR1.1403.1044876>

چکیده

در این پژوهش، نانوذرهای روی دیاکسید دوپهشده با نقره (Ag-ZnO) با دو روش سل-ژل و همروسبی سنتز و ویژگی پادبacterی نانوذرهای ZnO و Ag-ZnO بررسی شدند. طیف‌ستجی فروسرخ تبدیل فوریه (FTIR) گروه عاملی آن‌ها را شناسایی و تایید کرد که نقره با نانوذرهای روی دیاکسید دوپه شده است. نتیجه‌های به دست آمده از پراش پرتو ایکس (XRD) ساختار ورتزیت شش‌ضلعی را برای نانوذرهای سنتزشده با هر دو روش نشان داد. بررسی ریخت سطح و تعیین اندازه و ترکیب نانوذرهای با میکروسکوپ الکترونی روبشی (SEM) انجام شد. تصویرهای SEM نشان‌دهنده حضور نانوذرهای انبووهشده در هر دو روش بود، ولی در روش سل-ژل ریخت نانوذرهای pH محلول پیش‌ساز بستگی داشت. تغییر ریخت صفحه مانند به میله مانند زمانی که pH محیط از ۷ به ۱۰ افزایش یافت، مشاهده شد. فعالیت‌های پادبacterی نانوذرهای سنتزشده علیه باکتری‌های اشربیشیا کلی به عنوان باکتری گرم منفی و استافیلوکوکوس اورئوس به عنوان باکتری گرم مثبت با روش انتشار دیسک ارزیابی و مشاهده شد که فعالیت پادبacterی ZnO با دوپه کردن Ag به طور چشمگیری بهبود یافت. همچنین، این نانوذرهای گرم مثبت ویژگی پادبacterی بیشتری نشان دادند.

واژه‌های کلیدی: نانوذرهای روی دیاکسید دوپهشده با نقره، سل-ژل، همروسبی، ویژگی پادبacterی.

مقدمه

پیشرفت‌های اخیر در زمینه نانوفناوری منجر به تولید طیف وسیعی از عوامل پادمیکروبی شده است. نانوذرهای به دلیل نسبت بالای سطح به حجم در مقایسه با ذره‌های بزرگ‌تر با ترکیب شیمیایی مشابه، از لحاظ زیستی فعال‌تر هستند [۱].

خواصی و همکاران

شیمیایی^۱ [۲۱]، لایه نشانی به روش نهشت تبخیر گرمایی^۲ [۲۲]، رسوبدهی شیمیایی^۳ یا همروسوی^۴ [۲۳] و غیره به کارگرفته شده‌اند.

بیشتر این شیوه‌ها در مقیاس بزرگ به کارگرفته نشده‌اند، ولی روش‌های سنتز شیمیایی به دلیل سنتز مواد با خلوص بالا، سادگی، هزینه کم، خطرکم، رشد در دمای بهنسبت پایین و بازدهی بالا به طور گستردگی به کارگرفته شده‌اند [۱۴ و ۲۵]. می‌توان گفت که روش همروسوی، یکی از اصلی‌ترین روش‌های شیمیایی ساخت نانوذره‌ها است. با این فرایند، ویژگی‌هایی مانند ساختار و ریخت‌شناسی نانوساختارها را می‌توان واپاپیش کرد. این روش آماده‌سازی به دلایل متعددی مانند ارزان بودن، کم خطر بودن و قابلیت آسان برای تولید در مقیاس صنعتی جذاب است. افزون‌براین، عامل‌های فرایند مانند دما، زمان و pH محلول آماده‌شده می‌تواند به طور موثر و بیشگی فراورده‌های نانوذره را واپاپیش کند [۲۶]. روش سل-ژل یکی از متداول‌ترین روش‌ها برای سنتز نانوذره‌های Ag-ZnO است [۲۷ تا ۲۹]. زیرا این روش همگنی و ویژگی نوری خوبی تولید می‌کند و واپاپیش ترکیب آسان، دمای پایین و هزینه‌های تجهیزات کمی دارد. لی و همکارانش [۳۰] نشان دادند که شرایط حل‌شدن اثر ویژه‌ای بر اندازه نانوذره‌های روی اکسید دارد. ساگر و همکارانش [۳۱] ادعا کردند که افزایش pH محلول‌ها (از اسیدی تا قلیایی) موجب رشد فیلم روی اکسید می‌شود. سیتی سالوا و همکارانش پودر نانوذره‌های روی اکسید را با روش سل-ژل در محلول آبی در مقادیر متفاوت pH اسیدی (از ۶ تا قلیایی ۱۱) سنتز کردند. همه نمونه‌ها ویژگی ساختاری، ریخت‌شناسی و نوری خوبی داشتند [۳۲]. سریتار و همکارانش سنتز و ویژگی‌های نانوذره‌های Ag-ZnO با روش همروسوی را گزارش دادند. اندازه بلوری نانوذره‌های محاسبه‌شده با افزایش مقدار نقره

کاربرد و تاثیر مثبت بر ریزاندامگان‌های بیماری‌زا، جالب‌ترین نانوذره‌ها هستند [۲ تا ۵]. برایه پژوهش‌ها، نانوذره‌های نقره در مقایسه با سایر نانوذره‌های فلزی، فعالیت پادباکتری بیشتری دارند. یون‌های نقره قابلیت ایجاد اثر عقیم‌سازی باکتری‌ها و جلوگیری از رشد یا حتی نابود کنندگی باکتری‌ها را دارند.

در بین نانوذره‌ها توجه زیادی به نانوآکسیدها شده است [۶ تا ۸]. در سال‌های اخیر توجه ویژه‌ای به نانوذره‌های روی اکسید به دلیل ویژگی نوری، الکتریکی و شیمیایی بی‌همتای آن شده است. روی اکسید نقش محوری در فعالیت پادباکتری دارد. در راستای این نکته، کم هزینه و زیست‌ساز گاربودن و قدرت کاتالیستی بالای آن است [۹ و ۱۰]. ویژگی روی اکسید به روش سنتز بستگی دارد. رشد روی اکسید به شدت تحت تاثیر شرایط خارجی مانند دمای واکنش، غلظت واکنش، مقدار pH محلول است [۱۱ و ۱۲].

با وجود مزایای متفاوت روی اکسید، داشتن یک کاف نوار بزرگ (۳/۲ev) استفاده از آن را به منطقه فرابنفش (UV) محدود و در ناحیه مرئی نیز محدودیت ایجاد می‌کند. برای بهبود واکنش روی اکسید به نور مرئی، روش‌های متعددی شامل دوپه کردن روی اکسید با فلزهای انتقالی، فلزهای نادرخاکی و غیرفلزها به کارگرفته شده‌اند [۱۳ و ۱۴]. یکی از آن‌ها دوپه کردن روی اکسید با فلزهای نجیب و فلزهای انتقالی مانند پلاتین، آهن، مس، طلا، نقره و ... است. این فلزها طول موج موردنیاز را از گستره فرابنفش به گستره نور مرئی منتقل می‌کنند. دوپه شدن نقره بر سطح اکسیدهای فلزی به کارگرفته شده موجب افزایش فعالیت فتوکاتالیستی می‌شوند [۱۵ تا ۱۸].

فعالیت‌های پادباکتری در روی اکسید خالص به مقدار چشمگیری با ترکیب نقره بهبود می‌یابد. بسیاری از روش‌ها توسط پژوهشگران برای سنتز مواد نانوساختار روی اکسید مانند روش سل-ژل [۱۹]، الکتروشیمیایی [۲۰]، نهشت بخار

1. Chemical Vapor Deposition (CVD)

2. Thermal evaporation deposition

3. Chemical precipitation

4. Co-precipitation

سنتز نانوذرهای روی دی اکسید دوپه شده با نقره با دو...

یک محلول آبی 0.3 M مولار روی اکسید دو آبه در 50°C میلی لیتر آب مقطر حل و حدود 30 دقیقه در دمای اتاق هم زده شد. پس از گذشت زمان واکنش، 50 mL میلی لیتر محلول سدیم هیدروکسید 0.75 M مولار به صورت قطره‌ای افزوده شد. محلول به دست آمده 4 ساعت به طور مداوم هم زده شد. پس از 4 ساعت، رسوبات تهنشین شده با گریزانه جدا شد و چندین بار با آب مقطر و اتانول شسته شدند تا از ناخالصی آزاد شوند. پس از گریزانه، نمونه‌ها در دمای 70°C درجه سلسیوس در طول شب خشک شدند. سپس، نمونه‌ها در دمای 450°C درجه سلسیوس به مدت یک ساعت کلسینه شدند تا نانوذرهای ZnO به دست آیند.

سنتز نانوذرهای Ag-ZnO با روش هم رسوی برای دوپه کردن نقره، مقدار موردنیاز از نقره نیترات (5 g) در صد وزنی (ZnO) به روی استات در 100 mL میلی لیتر آب افزوده و مخلوط حدود 30 دقیقه در دمای اتاق هم زده شد. pH محلول روی استات و نقره نیترات پس از هم زدن، 6 بود. سپس، 50 mL میلی لیتر از محلول 0.75 M مولار سدیم هیدروکسید به صورت قطره‌ای به محلول بالا افزوده و محلول به دست آمده، 4 ساعت به طور پیوسته در دمای اتاق هم زده شد. pH این محلول پس از هم زدن 10 بود. جداسازی مخلوط به دست آمده با گریزانه انجام و رسوب به دست آمده با آب یون زدوده و اتانول چند بار شسته شد. سپس، نمونه در طول شب در دمای 70°C درجه سلسیوس خشک و در دمای 450°C درجه سلسیوس به مدت یک ساعت کلسینه شد تا نانوذرهای Ag-ZnO به دست آید.

سنتز نانوذرهای ZnO با روش سل ژل یک محلول آبی 0.3 M مولار روی استات دو آبه در 20°C میلی لیتر آب مقطر حل و حدود 60 دقیقه در دمای اتاق هم زده شد. 50 mL میلی لیتر محلول سدیم هیدروکسید 0.75 M مولار به صورت قطره‌ای به این محلول افزوده و به مدت 4 ساعت در دمای اتاق هم زده شد و سپس، برای مدت 48 ساعت پیرسازی

افزایش می‌یابد [۳۳]. بررسی‌های انجام شده توسط خداشناس و همکارانش در رابطه با شکل نانوذرهای ناشان داد که نانوذرهای مشتمی شکل، اثر پادبacterی بالاتری نسبت به نانوذرهای کروی و میله‌ای دارند [۳۴]. همچنین، نتیجه‌های پژوهش‌ها، ارتباط معکوس بین اندازه نانوذرهای نقره و ویژگی پادبacterی پادبacterی آن‌ها را گزارش کردند، یعنی با کاهش اندازه نانوذرهای، ویژگی پادبacterی آن‌ها افزایش می‌یابد. به دلیل اینکه با کاهش اندازه نانوذرهای، احتمال برهم‌کنش با سطح باکتری‌ها افزایش و درنتیجه اثر پادبacterی نانوذرهای افزایش می‌یابد [۳۵ و ۳۶]. با توجه به اینکه اصلاح ویژگی و بهبود فعالیت پادبacterی به شدت وابسته به روش سنتز است. بررسی تاثیر روش تهیه بر روی فعالیت پادبacterی Ag-ZnO ارزشمند است. در این پژوهش، نانوذرهای ZnO و Ag-ZnO با فرایند هم رسوی و سل-ژل در دو pH متفاوت تهیه و مقایسه شده‌اند. ویژگی فیزیکی پودرهای تهیه شده با روش‌های پراش پرتو ایکس (XRD)، طیف‌سنجری فروسرخ تبدیل فوریه (FTIR) و میکروسکوپی الکترونی روبشی (SEM) مشخص و فعالیت پادبacterی آن‌ها با روش انتشار دیسک^۱ در برابر باکتری‌های اشريشيا كلى^۲ و استافيلوكوكوس اورئوس^۳ بررسی شد.

بخش تجربی

مواد

روی استات دو آبه فراورده شرکت مرک به عنوان منبع روی، اتانول 99% درصد، سدیم هیدروکسید، نقره نیترات به عنوان منبع نقره استفاده شدند.

سنتز نانوذرهای ZnO با روش هم رسوی

1. Disk diffusion method

2. E. Coli

3. S. aureus

۴۰۰۰ تایید شد. ساختار بلوری نانوذره‌های ZnO و ZnO با پراش پرتو ایکس (XRD) و بهوسیله دستگاه STOE مدل STADI MP با منبع تابش CuK α با طول موج ۱,۵۹ \AA بررسی شد. ریخت‌شناسی سطح، اندازه ذره‌ها و ترکیب نانوذره‌های Ag-ZnO با میکروسکوپ الکترونی روبشی^۱ مدل I-۴۴۰ ساخت شرکت Leo (انگلستان) بررسی شد.

تعیین فعالیت پادبacterی

فعالیت پادبacterی نانوذره‌های ZnO خالص و Ag-ZnO علیه باکتری‌های اشريشیا کلی یک نوع باکتری گرم منفی و استافیلوکوکوس اورثوس یک نوع باکتری گرم مثبت با روش نفوذ دیسک انجام شد. در این مطالعه، آگار مولر-هیلتون به عنوان یک محیط آگار مواد مغذی استفاده شد. یکی از معیارها برای گروه‌بندی باکتری‌ها رنگ‌آمیزی این نمونه‌ها برپایه پاسخ به روش رنگ‌آمیزی گرم است. رنگ‌آمیزی گرم یکی از مهم‌ترین و متدالول‌ترین روش‌های رنگ‌آمیزی در تشخیص مقدماتی شناسایی جنس باکتری و تهییه پاذیست مناسب، به کارگرفته شد. این روش بر مبنای تفاوت‌های اساسی در ساختار دیواره سلولی صورت می‌گیرد. باکتری‌های گرم مثبت دارای دیواره سلولی شبکه مانند ضخیم ساخته شده از پپتیدوگلیکان^۲ و فاقد چربی هستند، درحالی‌که باکتری‌های گرم منفی دارای لایه‌های پپتیدوگلیکان ظرفیتر و غشای خارجی غنی از چربی هستند^[۳۷].

نتیجه‌ها و بحث

طیف‌های FTIR

طیف‌های FTIR نانوذره‌های ZnO سنتزشده و نانوذره‌های Ag-ZnO در شکل ۱ نشان داده شده‌اند. نوار پهن مربوط به ارتعاش کششی گروه‌های هیدروکسیل (OH) در گستره ۳۳۹۳ تا ۳۵۴۳ cm^{-1} برای همه نمونه‌ها با تفاوت کمی

شد. پس از آن، ژل به دست‌آمده چندین بار با اتانول و آب یون‌زدوده شسته شد. در نهایت، ژل در دمای ۷۰ درجه سلسیوس در طی شب خشک و در مدت یک ساعت در دمای ۴۵۰ درجه سلسیوس کلسانیه شد تا بلورهای روی اکسید به دست آمدند.

سنترنانوذره‌های Ag-ZnO با روش سل-ژل

یک محلول آبی ۰/۳ مولار روی استات دو آبه را در ۲۰ میلی‌لیتر آب مقطر حل و حدود ۶۰ دقیقه در دمای اتاق هم‌زده شد. ۰/۶۴ گرم نقره نیترات (۵ درصد وزنی ZnO) را در ۲۰۰ میلی‌لیتر آب مقطر حل و محلول به دست‌آمده را به محلول روی استات دو آبه افزوده و مخلوط ۳۰ دقیقه هم‌زده شد. Ph محلول به دست‌آمده به ۶ رسید. سپس، ۵۰ میلی‌لیتر محلول سدیم هیدروکسید ۰/۷۵ مولار به صورت قطره‌ای به آن افزوده و پس از ۴ ساعت هم‌زدن در دمای اتاق، برای مدت ۴۸ ساعت pH نهایی به ۷ رسید. پس از این مدت، ژل به دست‌آمده چندین بار با اتانول و آب بدون یون شسته شد. در پایان ژل در دمای ۷۰ درجه سلسیوس در طی تمام شب خشک و سپس، یک ساعت در دمای ۴۵۰ درجه سلسیوس کلسانیه شد تا پودرهای Ag-ZnO به دست آید. همچنین، یک بار دیگر این آزمایش با همین واکنشگرها، ولی با افزودن محلول سود ۰/۷۵ مولار اضافی تا حدی که pH محلول به ۱۰ برسد، انجام شد. ژل به دست‌آمده چندین بار با اتانول و آب بدون یون شسته شد و در دمای ۷۰ درجه سلسیوس در طی تمام شب خشک و سپس، در مدت یک ساعت در دمای ۴۵۰ درجه سلسیوس کلسانیه شد. بنابراین، با تغییر مقدار آب، سدیم هیدروکسید و pH محلول، به جای رسوپ، ژل تشکیل شد.

روش‌های شناسایی نمونه سنتز شده ZnO و گروه‌های عاملی Ag-ZnO نانوذره‌های و Ag-ZnO با طیف‌ستجی (FTIR)، مدل Nicolet Thermo، ایالات متحده آمریکا) در گستره ۴۰۰ تا ۳۳۹۳ cm^{-1} NEXUS

1. Scanning Electron Microscope (SEM)

2. Peptidoglycan

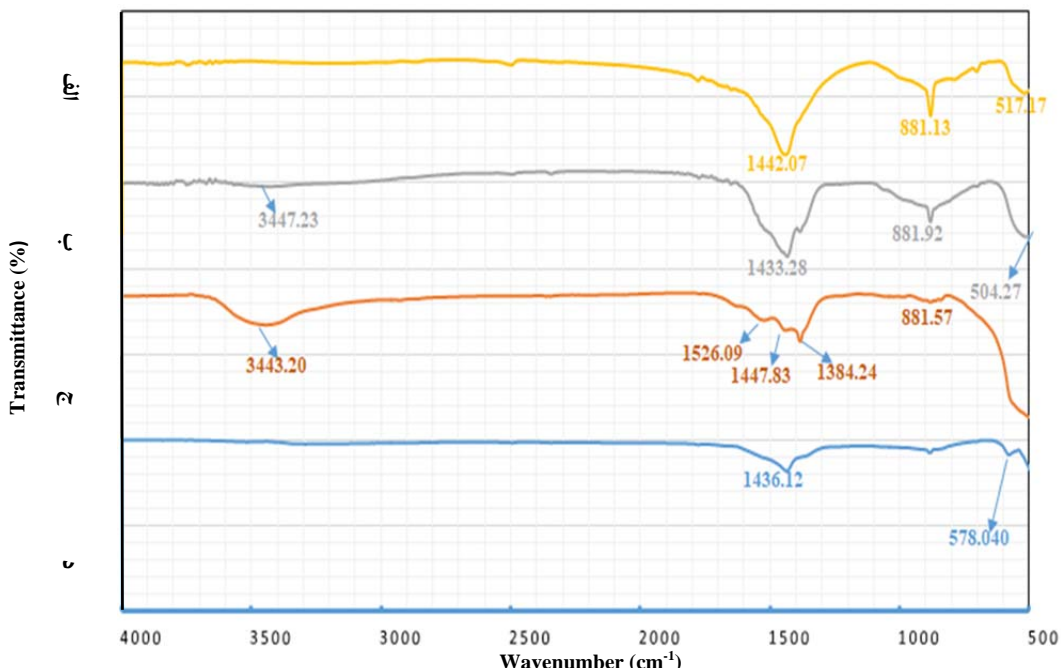
سال هجدهم، شماره ۲، تابستان ۱۴۰۳

نشریه پژوهش‌های کاربردی در شیمی (JARC)

سنتز نانوذرهای روی دی اکسید دوپه شده با نقره با دو...

پدیدارشده در عدهای موج پایین‌تر طیف‌های نمونه‌های دوپه شده در مقایسه با نمونه دوپه‌نشده مشاهده می‌شود. این تغییر جزئی می‌تواند به دلیل دوپه‌شدن ZnO با Ag باشد که طول پیوند را تغییر داده است [۴۲]. نوارهای ضعیف نزدیک به 900 cm^{-1} نیز می‌تواند مربوط به ارتعاش‌های کششی و خمی ZnO و ZnO دوپه‌شده با Ag باشد [۴۳]. همان‌طور که مقدار pH محلول روی استات دو آبه با سدیم هیدروکسید افزایش می‌باید، نوار مربوط به ارتعاش CO به سمت بالا و پایین تغییر می‌کند که ناشی از تغییر ساختاری در ریخت نمونه است.

در شدت آن‌ها مشاهده می‌شود [۳۸ تا ۴۰]. این نوار مربوط به هیدروکسیل‌های سطحی و همچنین، مولکول‌های آبی که به‌احتمال به‌دلیل رطوبت اتمسفری بر سطح نانوذرهای Ag-ZnO جذب شده‌اند، است. نوارهای مشاهده شده بین 1350 و 1450 cm^{-1} به کشنش متقارن C-O مربوط به روی کربوکسیلات نسبت داده می‌شوند. این نوارها به دلیل ریخت‌های ساختاری متنوع در شرایط قلیایی جابه‌جا می‌شوند [۴۱]. نوارهای مربوط به ارتعاش‌های کششی Zn-O در گستره 500 تا 550 cm^{-1} پدیدار شده‌اند که نشان می‌دهد تبدیل ZnO به Zn(OH)₂ انجام شده است. تغییر جزئی در نوارهای



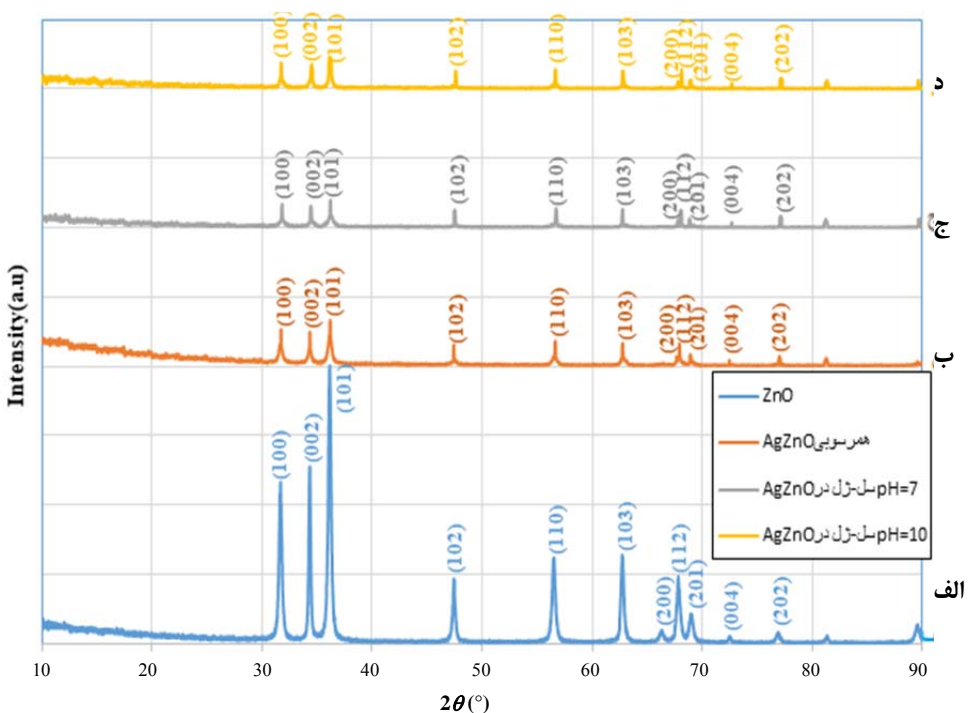
شکل ۱ طیف‌های FTIR نانوذرات روی اکسید سنتزشده (الف) و روی اکسید دوپه شده با ۵ درصد نقره با روش هم‌رسوبی (ب) و روش سل-ژل در pHهای ۷ (ج) و ۱۰ (د)

الگوهای قله‌های بسیار شدید و تیزی را نشان می‌دهند که برپایه نشانک‌های معمول ZnO هستند و بهخوبی با ساختار نوع ورتزیت شش ضلعی ZnO (کارت JCPDS شماره ۷۶-۰۵۷۶) مطابقت دارد.

الگوهای پراش پرتو/ایکس‌RDX نانوذرهای ZnO سنتزشده و نانوذرهای ZnO دوپه شده با Ag در شکل ۲ نشان داده شده‌اند. همه

مشخص قله‌های پراش نشان می‌دهد که نمونه‌ها بسیار بلوری هستند [۴۴]. نقره تمايل به اشغال هردو موقعیت Zn (جانشینی و بینایینی) را دارد. کاهش موقعیت قله زمانی مشاهده می‌شود که یک عنصر با شاعر یونی بزرگ‌تر از Zn^{2+} در محلهای جانشینی شبکه بلوری ZnO جایگزین شود.

همخوانی دارند. هیچ قله‌ای که بیانگر ناخالصی در الگوها باشد، مشاهده نمی‌شود. افزون براین، شدت بالاتر و پهنا برای باریک‌تر قله‌های ZnO در الگو نشان می‌دهد که فراورده‌های به دست آمده تبلور خوبی دارند. تفاوت بین شاعر Zn^{2+} و Ag^+ حلایت Ag^+ را در شبکه ZnO محدود می‌کند. گسترش خط تیز و

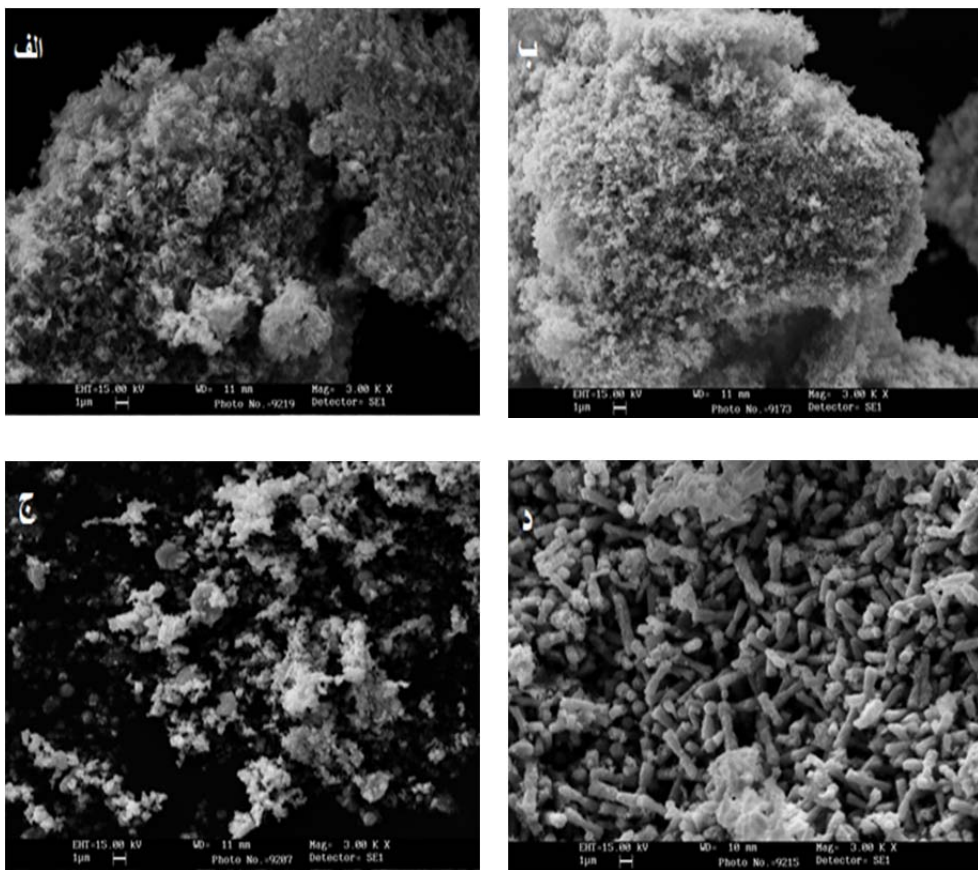


شکل ۲ الگوهای XRD برای نانوذرات روی اکسید (الف) و روی اکسیدهای دوپهشده با ۵ درصد نقره به روش هم‌رسوبی (ب) و به روش سل-ژل در pHهای ۷ (ج) و ۱۰ (د)

به تقریب مشابه هستند. تصویر SEM نانوذرهای Ag-ZnO سنتزشده با روش سل-ژل در pH برابر با ۱۰، نانومیله‌هایی با ساختار بلوری را نشان می‌دهد که اندازه و شکل نامنظمی دارند. در روش سل-ژل ریخت نانوذرهای Ag-ZnO به pH مخلوط پیش‌ساز بستگی دارد. تغییر از ریخت صفحه مانند به میله مانند زمانی مشاهده می‌شود که مقدار pH از ۷ به ۱۰ افزایش می‌یابد.

تصویرهای SEM نانوذرهای ZnO و Ag-ZnO سنتزشده با روش هم‌رسوبی و سل-ژل در دو pH متفاوت ۷ و ۱۰ در شکل ۳ (الف تا د) نشان داده شده‌اند. این تصویرها نانوذرهای ZnO را به صورت خوش‌های ذره‌های ریز نشان می‌دهند که با گزارش‌های پیشین هم‌خوانی دارد [۴۵ و ۴۶]. تصویرهای الف و ب به روشی مشخص می‌کند که نانوذرهای ZnO خالص و دوپهشده به روش هم‌رسوبی، تجمع یافته و

ستنتر نانوذره‌های روی دی اکسید دوپه شده با نقره با دو...



شکل ۳ تصویرهای SEM نانوذره‌های ZnO سنتزشده با روش هم‌رسوبی (الف) و نانوذره‌های Ag-ZnO سنتزشده با روش هم‌رسوبی (ب) و با روش سل ژل در pHهای برابر با ۷ (ج) و ۱۰ (د)

پادباکتری بیشتری نشان می‌دهند که این را می‌توان به تفاوت‌های ساختاری در دیواره سلولی بیرونی بین باکتری‌های گرم مثبت و گرم منفی نسبت داد. جدول ۱ نتیجه‌های تاثیر نانوذره‌های روی اکسید دوپه شده با نقره در برابر باکتری‌های گرم مثبت استافیلوکوکوس اورئوس و باکتری‌های گرم منفی اشريشيا کلى را نشان می‌دهد.

همان‌طورکه مشاهده می‌شود نانوذره‌های ZnO خالص ویژگی پادباکتری دارند که با دوپه کردن آن با نقره این ویژگی افزایش می‌یابد. همچنین، نانوذره‌های روی اکسید در مقابل هردو باکتری ویژگی پادباکتری دارند، ولی برروی باکتری گرم

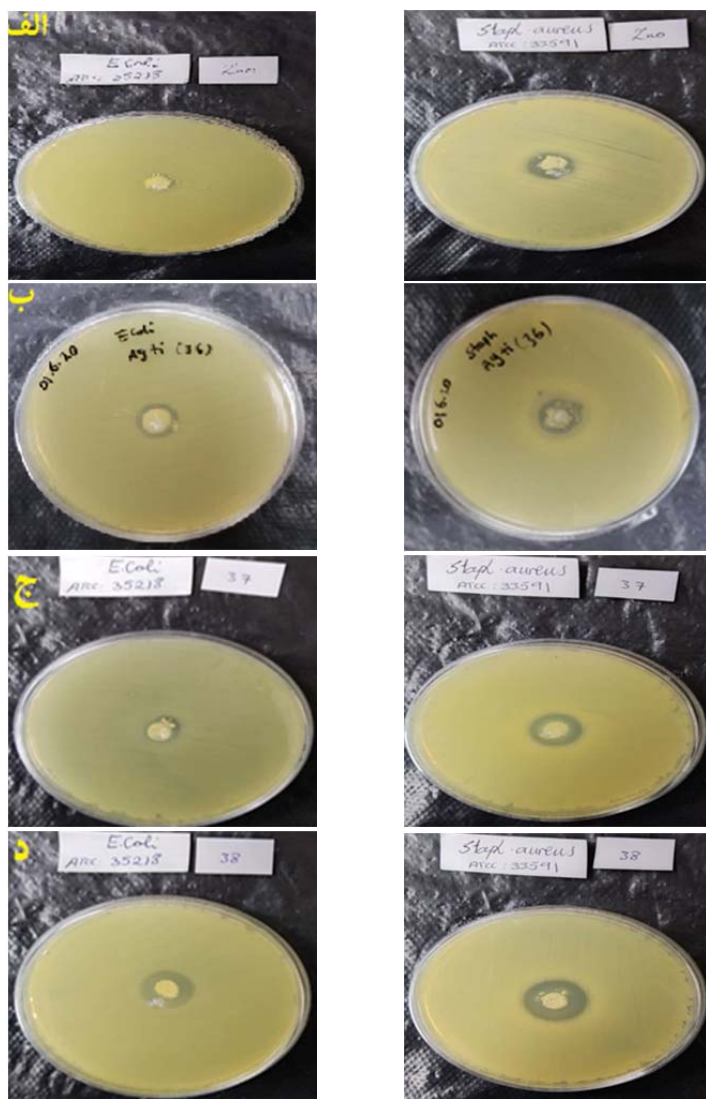
روش انتشار دیسکی فعالیتهای پاد باکتری Ag-ZnO در برابر باکتری‌های گرم مثبت استافیلوکوکوس اورئوس و باکتری‌های گرم منفی اشريشيا کلى بررسی شدند (شکل ۴).

تمام صفحه‌های آگار از نظر بصری برای وجود رشد باکتری بررسی شدند، و قطر مناطق مهاری بر حسب سانتی‌متر اندازه گیری شد. همان‌طور که در شکل ۴ مشاهده می‌شود، نانوذره‌های ZnO خالص و دوپه شده در مقابل هر دو نوع باکتری از خود ویژگی پادباکتری نشان می‌دهند، ولی در مقابل باکتری‌های گرم مثبت استافیلوکوکوس اورئوس از خود ویژگی

خواصی و همکاران

Ag-ZnO افرون برآن، ویژگی پادبacterی نانوذره‌های تهیه شده با روش سل-ژل در pH برابر با ۱۰ برابر روی هردو باکتری بیشتر از بقیه نانوذره‌ها روی است.

مثبت استافیلوکوکوس اورئوس نسبت به باکتری گرم منفی اشريشيا کلی اثر بیشتری می‌گذاردند.



شکل ۴ فعالیت پادبacterی و تعیین قطر منطقه مهار نانوذره‌های ZnO خالص (الف) و Ag-ZnO سترشده با روش همروبی (ب) و با روش سل-ژل در pHهای برابر با ۷ (ج) و ۱۰ (د) در برابر باکتری‌های استافیلوکوکوس اورئوس و اشريشيا کلی

سنتز نانوذرهای روی دی اکسید دوپه شده با نقره با دو...

جدول ۱ قطر منطقه مهار باکتری های استافیلوکوکوس اورئوس و اشريشيا کلی با نانوذرهای ZnO و Ag-ZnO سنتز شده با روش های همروسوی و سل-ژل در pH متفاوت و ۱۰-۷

قطر منطقه مهار (cm)		نوع نانوذرهای
استافیلوکوکوس اورئوس	اشريشيا کلی	
۱/۵	۱/۱	ZnO خالص
۱/۶	۱/۵	Ag-ZnO سنتز شده با روش همروسوی
۱/۷	۱/۲	Ag-ZnO سنتز شده با روش سل-ژل در pH = ۷
۲/۰	۱/۸	Ag-ZnO سنتز شده با روش سل-ژل در pH = ۱۰

بودند. هرچند که ریخت سطح نمونه های ZnO دوپه نشده فشردگی کمتری داشتند. اندازه و ریخت نانوذرهای سنتز شده با روش سل-ژل می تواند با تغییر pH طراحی شود. تغییر از ریخت صفحه مانند به میله مانند زمانی مشاهده شد که pH از ۷ به ۱۰ افزایش می یابد. نانوذرهای ZnO خالص و دوپه شده در مقابل باکتری های گرم مثبت استافیلوکوکوس اورئوس از خود ویژگی پادباکتری بیشتری نسبت به باکتری های گرم منفی اشريشيا کلی نشان دادند. ویژگی پادباکتری نانوذرهای Ag-ZnO سنتز شده با روش سل-ژل در pH برابر با ۱۰ بر روی هر دو باکتری بیشتر از نانوذرهای روی اکسید سنتز شده بود. ویژگی نانوذرهای روی اکسید دوپه شده با نقره به شدت به روش سنتز و شرایط در طول سنتز بستگی داشت و رشد این نانوذرهای به شدت تحت تاثیر شرایط خارجی مانند دمای واکنش، غلظت واکنش و مقدار pH محلول بود.

نتیجه گیری

در این مقاله، مقایسه بین دو روش (همروسوی و سل-ژل) برای به دست آوردن نانوذرهای Ag-ZnO گزارش شده است. به روشنی مشاهده شد که روش آماده سازی بر ویژگی های خاص نانوذرهای مانند ریخت، اندازه ذره ها و مساحت سطح ویژه تاثیر می گذارد. نتیجه های به دست آمده از پراش پرتو ایکس در هر دو روش نشان داد که در نانوذرهای ZnO و Ag-ZnO ساختار ورتزیت شش ضلعی مشاهده می شود.

بررسی گروه های عاملی موجود در نانوذرهای Ag-ZnO با طیف FTIR نمونه ها تایید کرد که نقره به خوبی با نانوذرهای روی اکسید دوپه شده است. تصویرهای میکروسکوپ الکترونی روبشی نمونه ها تغییرهای چشمگیری را در ریخت نانوذرهای به دست آمده نشان داد. ریخت نانوذرهای ZnO خالص و دوپه شده با روش همروسوی به تقریب مشابه

مراجع

- [1] Esmailzadeh H, Sang Poor P, Khaksar R, Shahraz F. The effect of ZnO nanoparticles on the growth of *Bacillus subtilis* and *Escherichia coli* O157:H7. *Journal of Food Technology & Nutrition*. 2014;11(3):21-28.
- [2] Sukumaran P, Poulose EK. Silver nanoparticles: mechanism of antimicrobial action, synthesis, medical applications, and toxicity effects. *International Nano Letters*. 2012;2(1):2-10. doi: [org/10.1186/2228-5326-2-32](https://doi.org/10.1186/2228-5326-2-32).
- [3] Wan X, Wang T, Dong Y, He D. Development and application of TiO₂ nanoparticles coupled with silver halide. *Journal of Nanomaterials*. 2014;2014(29):5. doi: [org/10.1155/2014/908785](https://doi.org/10.1155/2014/908785).
- [4] Chen S, Guo Y, Chen S, Ge Z, Yang H, Tang J. Fabrication of Cu/TiO₂ nanocomposite: toward an enhanced antibacterial performance in absence of light. *Materials Letters*. 2012;83:154–157. doi : [org/10.1016/j.matlet.2012.06.007](https://doi.org/10.1016/j.matlet.2012.06.007)
- [5] Vaseem M, Umar A, Hahn YB. ZnO nanoparticles: Growth, properties, and applications in Metal Oxide Nanostructures and their Applications. Edited by Umar A, Hahn Y-B. USA: American Scientific Publishers; 2010.
- [6] Murray CB, Kagan CR, Bawendi MG. Synthesis and characterization of monodisperse nanocrystals and close packed nanocrystal assemblies. *Annual Review of Materials Science*. 2000;30:545-610. doi: [org/10.1146/annurev.matsci.30.1.545](https://doi.org/10.1146/annurev.matsci.30.1.545)
- [7] Cermenati L, Dondi D, Fagnoni M, Albini A. Titanium dioxide photocatalysis of adamantane. *Tetrahedron*. 2003;59(34):6409-6414. doi: [org/10.1016/S0040-4020\(03\)01092-5](https://doi.org/10.1016/S0040-4020(03)01092-5)
- [8] Kumar R, Rana D, Umar A, Sharma P, Chauhan S, Chauhan MS. Ag-doped ZnO nanoellipsoids: Potential scaffold for photocatalytic and sensing applications. *Talanta*. 2015;137:204-213. doi: [org/10.1016/j.talanta.2015.01.039](https://doi.org/10.1016/j.talanta.2015.01.039)
- [9] H. Morkoç H, Ozgur U. Zinc Oxide: Fundamentals, Materials and Device Technology. Germany: Wiley-VCH; 2009. doi: [org/10.1002/9783527623945](https://doi.org/10.1002/9783527623945)
- [10] Jayabharathi J, Karunakaran C, Kalaiarasi V, Ramanathan P. Nano ZnO, Cu-doped ZnO, and Ag-doped ZnO assisted generation of light from imidazole. *Journal of Photochemistry and Photobiology A: Chemistry*. 2014;295:1–10. doi: [org/10.1016/j.jphotochem.2014.09.002](https://doi.org/10.1016/j.jphotochem.2014.09.002)
- [11] Li WJ, Shi EW, Zhang WZ, Yin ZW. Growth mechanism and growth habit of oxide crystals. *Journal of Crystal Growth* 1999;203(1):186-196. doi: [org/10.1016/S0022-0248\(99\)00076-7](https://doi.org/10.1016/S0022-0248(99)00076-7)
- [12] Sekiguchi T, Haga K, Inaba K. ZnO films grown under the oxygen-rich condition. *Journal of Crystal Growth* 2002;214-215:68-71. doi: [org/10.1016/S0022-0248\(00\)00062-2](https://doi.org/10.1016/S0022-0248(00)00062-2).
- [13] Samadi M, Zirak M, Naseri A, Khorashadizade E, Moshfegh AZ. Recent progress on doped ZnO nanostructures for visible-light photocatalysis. *Thin Solid Films* 2016;605:2-19. doi: [org/10.1016/j.tsf.2015.12.064](https://doi.org/10.1016/j.tsf.2015.12.064)
- [14] Yin Q, Qiao R, Tong G. Preparation and photocatalytic application of ion-doped ZnO functional nanomaterials. *Progress in Chemistry*. 2014;26 (10):1619-1632. doi: [10.7536/PC140452](https://doi.org/10.7536/PC140452)
- [15] Bechambi O, Chalbi M, Najjar W, Sayadi S. Photocatalytic activity of ZnO doped with Ag on the degradation of endocrine disrupting under UV irradiation and the investigation of its antibacterial activity. *Applied Surface Science* 2015;347:414–420. doi: [org/10.1016/j.apsusc.2015.03.049](https://doi.org/10.1016/j.apsusc.2015.03.049)
- [16] Elango M, Deepa M, Subramanian R, Mohame Musthafa A. Synthesis, characterization of polyindole/Ag-ZnO nanocomposites and its antibacterial activity. *Journal of Alloys and Compounds* 2017;696:391-401. doi: [org/10.1016/j.jallcom.2016.11.258](https://doi.org/10.1016/j.jallcom.2016.11.258)

- [17] Hastir A, Kohli N, Singh RC. Ag doped ZnO nanowires as highly sensitive ethanol gas sensor. *Materials Today: Proceedings*. 2017;4(9):9476–94. doi: org/10.1016/j.matpr.2017.06.207
- [18] Jakob M, Levanon H, Kamat PV. Charge distribution between UV-Irradiated TiO₂ and gold nanoparticles: Determination of Shift in the Fermi Level. *Nano Letters* 2003;3(3):353–358. doi: org/10.1021/nl0340071
- [19] Hasnidawani JN, Azlina HN, Norita H, Bonnia NN, Ratim S, Ali ES. Synthesis of ZnO nanostructures using sol-gel method. *Procedia Chemistry*. 2016;19:211–216. doi: org/10.1016/j.proche.2016.03.095
- [20] Patella B, Moukri N, Regalbuto G, Cipollina C, Pace E, Vincenzo SD, Aiello G, O'Riordan A, Inguanta R. Electrochemical synthesis of zinc oxide nanostructures on flexible substrate and application as an electrochemical immunoglobulin-g immunosensor. *Materials*. 2022;15(3):713. doi: org/10.3390/ma15030713
- [21] Wu JJ, Liu S-C. Catalyst-free growth and characterization of ZnO nanorods. *Journal of Physical Chemistry B*. 2002;106(37):9546–9551. doi: org/10.1021/jp025969j
- [22] Yao BD, Chan YF, Wang N. Formation of ZnO nanostructures by a simple way of thermal evaporation. *Applied Physics Letters*. 2002;81(4):757–759. doi: org/10.1063/1.1495878
- [23] Adam R-E, Pozina G, Willander M, Nur O. Synthesis of ZnO nanoparticles by co-precipitation method for solar driven photodegradation of Congo red dye at different pH. *Photonics and Nanostructures-Fundamentals and Applications*. 2018;32:11–18. doi: org/10.1016/j.photonics.2018.08.005
- [24] Goswami M, Adhikary NC, Bhattacharjee S. Effect of annealing temperatures on the structural and optical properties of zinc oxide nanoparticles prepared by chemical precipitation method. *Optik*. 2018;158:1006–15. doi: org/10.1016/j.jleo.2017.12.174
- [25] Parra MR, Haque FZ. Aqueous chemical route synthesis and the effect of calcination temperature on the structural and optical properties of ZnO nanoparticles. *Journal of Materials Research and Technology*. 2014;3(4):363–369. doi: org/10.1016/j.jmrt.2014.07.001...012020
- [26] Raj KP, Sadayandi K. Effect of temperature on structural, optical and photoluminescence studies on ZnO nanoparticles synthesized by the standard co-precipitation method. *Physica B: Condensed Matter*. 2016;487:1–7. doi: org/10.1016/j.physb.2016.01.020
- [27] Hu Z, Oskam G, Penn RL, Pesika N, Pearson PC. The influence of anion on the coarsening kinetics of ZnO nanoparticles. *Journal of Physical Chemistry B*. 2003;107(14):3124–3130.
- [28] Meulenkamp EA. Synthesis and growth of ZnO nanoparticles. *The Journal of Physical and Chemistry B*. 1998;102(29):5566–5572
- [29] Oskam G. Metal oxide nanoparticles: Synthesis, characterization and application. *Journal of Sol-Gel Science and Technology*. 2006;37:161–164. doi: org/10.1007/s10971-005-6621-2
- [30] Li WJ, Shi EW, Fukuda T. Particle size of powders under hydrothermal conditions. *Crystal Research and Technology* 2003 October; 38(10):847–858. doi: org/10.1002/crat.200310103
- [31] Sagar P, Shishodia P.K, Mehra R.M. Influence of pH value on the quality of sol-gel derived ZnO films. *Applied Surface Science*. 2007;253(12):5419–5424. doi: org/10.1016/j.apsusc.2006.12.026
- [32] Alias SS, Ismail AB, Mohamad AA. Effect of pH on ZnO nanoparticle properties synthesized by sol-gel centrifugation. *Journal of Alloys and Compounds*. 2010;499(2):231–237. doi: org/10.1016/j.jallcom.2010.03.174
- [33] Srithar A, Kannan JC, Senthil TS. Preparation and Characterization of Ag doped ZnO nanoparticles and its antibacterial applications. *Journal of Advances in*

- Chemistry. 2017;13(6):6273-6279. doi: org/10.24297/jac.v13i6.5699
- [34] Khodashenas B. The influential factors on antibacterial behaviour of copper and silver nanoparticles. Indian Chemical Engineer. 2016;58(3):224-239. doi:org/10.1080/00194506.2015.1026950
- [35] Choi O, Hu Z. Size dependent and reactive oxygen species related nanosilver toxicity to nitrifying bacteria. Environmental Science & Technology. 2008;42(12):4583–4588. doi: org/10.1021/es703238h
- [36] Carlson C, Hussain SM, Schrand AM, Braydich-Stolle LK, Hess KL, Jones RL, Schlager JJ. Unique cellular interaction of silver nanoparticles: Size-dependent generation of reactive oxygen species. The Journal of Physical Chemistry B. 2008;112(43):13608–13619. doi:org/10.1021/jp712087m
- [37] Steward K. Gram positive vs gram negative. Technology Networks: Immunology & Microbiology. 2019 August.
- [38] Ambrozic G, Skapin S.D , Zigon M, Orel Z.C, The formation of zinc oxide nanoparticles from zinc acetylacetone hydrate in tert -butanol : A comparative mechanistic study with isomeric C₄ alcohols as the media. Materials Research Bulletin. 2011;46(12):2497–2501. doi: org/10.1016/j.materresbull.2011.08.018
- [39] Salahuddin NA, Kemary MEI, Ibrahim EM. Synthesis and characterization of ZnO nanoparticles via precipitation method: Effect of annealing temperature on particle size. Nanoscience and Nanotechnology. 2015;5(4):82–88. doi: 10.5923/j.nn.20150504.02
- [40] Noei H, Qiu H, Wang Y, Loffler E, Woll C, Muhler M. The identification of hydroxyl groups on ZnO nanoparticles by infrared spectroscopy. Physical Chemistry Chemical Physics. 2009;10(47):7092-7097. doi.org/10.1039/b811029h
- [41] Usui H. Surfactant concentration dependence of structure and photocatalytic properties of zinc oxide rods prepared using chemical synthesis in aqueous solutions. Journal of Colloid and Interface Science. 2009;336(2):667-674. doi: org/10.1016/j.jcis.2009.04.060
- [42] Wahab R, Ansari SG, Kim YS, Dar MA, Shin H-S. Synthesis and characterization of hydrozincite and its conversion into zinc oxide nanoparticles. Journal of Alloys and Compounds. 2008;461(1):66-71. doi:org/10.1016/j.jallcom.2007.07.029
- [43] Kayani ZN, Anwar M, Saddiqe Z, Riaz S, Naseem S. Biological and optical properties of sol-gel derived ZnO using different percentages of silver contents. Colloids and Surfaces B: Biointerfaces. 2018;171:383-390. doi: org/10.1016/j.colsurfb.2018.07.055
- [44] Chauhan R, Kumar A, Chaudhary RP. Photocatalytic studies of silver doped ZnO nanoparticles synthesized by chemical precipitation method. Journal of Sol-Gel Science and Technology. 2012;63(3):546–553. doi: org/10.1007/s10971-012-2818-3
- [45] Wang ZL. Zinc oxide nanostructures: Growth, properties and applications. Journal of Physics: Condensed Matter. 2004; 16(25):829-858. doi:org/10.1088/0953-8984/16/25/R01.

Synthesis of silver-doped zinc dioxide nanoparticles by sol-gel and coprecipitation techniques and comparison of physico-chemical properties and antibacterial activities of them

M. Shabaninia¹, M. Khorasani^{2,*}, S. Baniyaghoob³

1. PhD Student of Inorganic Chemistry, Science and Research Branch, Islamic Azad University, Tehran, Iran.

2. Assistant Prof. of Department of Polymer Engineering Color & Coatings Industry, Amirkabir University of Technology, Tehran, Iran.

3. Assistant prof. of Inorganic Chemistry, Science and Research Branch, Islamic Azad University, Tehran, Iran.

Abstract: In this research, silver-doped zinc oxide nanoparticles were synthesized using sol-gel and coprecipitation methods and the antibacterial behavior of them was evaluated. Fourier transform infrared spectroscopy (FTIR) identified the functional groups of synthesized samples and confirmed that Ag was doped well into ZnO nanoparticles. X-ray diffraction (XRD) confirmed the hexagonal wurtzite structure for the nanoparticles synthesized by using both methods. Surface morphology, particle size and composition of Ag-ZnO nanoparticles were studied by scanning electron microscope (SEM). The SEM images showed the agglomerations of the particles synthesized by using both methods but in sol-gel method morphology of nanoparticles depended on pH of precursor. Morphology changes from irregular forms of sheet-shaped to rod-shaped nanoparticles was observed when pH increased from 7 to 10. Antibacterial behaviors of the synthesized nanoparticles against Escherichia coli (E. Coli) as a gram-negative bacteria and Staphylococcus aureus as a gram-positive bacteria were evaluated by disk diffusion test method, and it was observed that the antibacterial activity of ZnO improved by Ag doping. Our results showed that synthesized nanoparticles show more antibacterial activity against S. aureus than E. Coli.

Keywords: Silver-doped zinc dioxide nanoparticles, Sol-gel, Coprecipitation, Antibacterial activity.

* Corresponding author Email:
khorasani.m@aut.ac.ir